

## 系统建模问题背景

### 问题 4

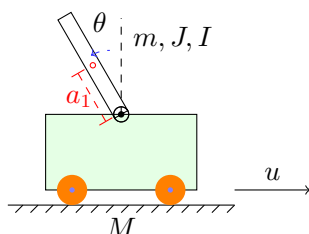
试用 Simulink 搭建如下倒立摆的 PID 和 LQR 控制器，假设倒立摆的状态空间模型为：

$$\dot{x} = Ax + Bu$$

$$y = Cx + Du = \begin{bmatrix} \theta \\ x \end{bmatrix}$$

$$\text{状态矩阵 } A = \begin{bmatrix} 0 & 1 & 0 & 0 \\ 41.63 & 0 & 0 & 0 \\ 0 & 0 & 0 & 1 \\ -0.6099 & 0 & 0 & 0 \end{bmatrix}, B = \begin{bmatrix} 0 \\ -2.7584 \\ 0 \\ 0.6898 \end{bmatrix}, C = \begin{bmatrix} 1 & 0 & 0 & 0 \\ 0 & 0 & 1 & 0 \end{bmatrix}, D = \begin{bmatrix} 0 \\ 0 \end{bmatrix}, \text{状态}$$

$$\text{向量 } x(t) = \begin{bmatrix} \theta \\ \dot{\theta} \\ x \\ \dot{x} \end{bmatrix}, \text{控制输入 } u(t), \text{输出 } y(t)。$$



其中， $M$  为摆杆的质量， $m$  为小球的质量， $J$  为摆杆的转动惯量， $I$  为小球的质量矩（这里两种模型的  $J, I$  可以看为一种东西）， $u$  为输入力， $\theta$  为摆杆与水平线的夹角， $l$  为摆杆重心与水平线的距离。这里给出假设： $M = 1.42, m = 0.12, b = 0.1, l = 0.188, J = I = 0.0014$ ，均为国际单位制 (kg,m,s)。

## 数学推导与模型构建

如下图所示，我们拥有两种倒立摆系统的模型假设：

- 在杆模型中，我们假设杆的质量是均匀分布的，并且不考虑系统的摩擦。

- 在球模型中，我们忽略摆杆质量和地面摩擦，并且假设杆的质量集中在杆的末端。

这种假设影响的是重心位置，但是我们可以通过巧妙地让重心到连接点的长度为  $l$  来寻找统一的表达式。

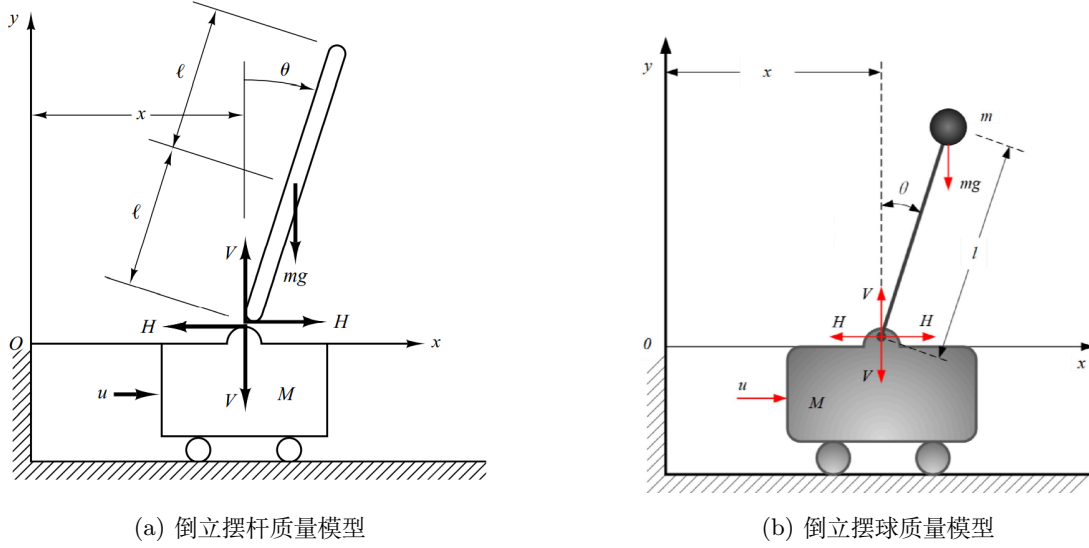


图 1: 两种倒立摆模型

### 倒立摆杆质量模型

严格来说：假设  $u$  为外部作用力， $M$  为小车质量， $m$  为摆杆质量，摆杆长度为  $2l$  且摆杆质量均匀分布。设  $x$  为小车位置， $\theta$  为摆杆与竖直方向的夹角。系统不考虑空气阻力的影响。那么我们根据牛顿第二定律，考虑摆杆重心的水平运动和垂直运动，然后在考虑小车的水平运动和摆杆的转动（绕重心的转动运动）。

$$\begin{cases} m \frac{d^2}{dt^2}(x + l \sin(\theta)) = H \\ m \frac{d^2}{dt^2}(l \cos(\theta)) = -mg + V \\ M \frac{d^2}{dt^2}(x) = u - H \\ I \frac{d^2}{dt^2}(\theta) = Vl \sin(\theta) - Hl \cos(\theta) \end{cases}$$

联立化简即可，我们为了方便后续设计，假设倒立摆角度很小，近似认为  $\sin \theta = \theta, \cos \theta = 1$ ；以及倒立摆绕重心的转动惯量很小，近似认为  $I = 0$ 。那么可以得到：

$$\begin{cases} (M + m)\ddot{x} + m\ddot{\theta} = u \\ ml^2\ddot{\theta} + ml\ddot{x} = mgl\theta \end{cases}$$

定义状态变量  $X$ :

$$X = \begin{bmatrix} x_1 \\ x_2 \\ x_3 \\ x_4 \end{bmatrix} = \begin{bmatrix} \theta \\ \dot{\theta} \\ x \\ \dot{x} \end{bmatrix}$$

那么可以得到状态方程:

$$\dot{X} = \begin{bmatrix} \dot{\theta} \\ \ddot{\theta} \\ \dot{x} \\ \ddot{x} \end{bmatrix} = \begin{bmatrix} x_2 \\ \frac{(M+m)g}{Ml}x_1 - \frac{1}{Ml}u \\ x_4 \\ -\frac{mg}{M}x_1 + \frac{1}{M}u \end{bmatrix}$$

可以写出以为倒立摆系统的状态空间方程表达式:

$$\begin{bmatrix} \dot{x}_1 \\ \dot{x}_2 \\ \dot{x}_3 \\ \dot{x}_4 \end{bmatrix} = \begin{bmatrix} 0 & 1 & 0 & 0 \\ \frac{(M+m)g}{Ml} & 0 & 0 & 0 \\ 0 & 0 & 0 & 1 \\ -\frac{mg}{M} & 0 & 0 & 0 \end{bmatrix} \cdot \begin{bmatrix} x_1 \\ x_2 \\ x_3 \\ x_4 \end{bmatrix} + \begin{bmatrix} 0 \\ -\frac{1}{Ml} \\ 0 \\ \frac{1}{M} \end{bmatrix} \cdot u$$

$$y = CX + D\hat{u} = \begin{bmatrix} 1 & 0 & 0 & 0 \\ 0 & 0 & 1 & 0 \end{bmatrix} \cdot \begin{bmatrix} x_1 \\ x_2 \\ x_3 \\ x_4 \end{bmatrix} + \begin{bmatrix} 0 \\ 0 \end{bmatrix} \cdot \hat{u} = \begin{bmatrix} \theta \\ x \end{bmatrix}$$

## 倒立摆球质量模型

严格来说: 假设  $u$  为外部作用力,  $M$  为小车质量,  $m$  为摆杆末端球质量, 摆杆长度为  $l$  且摆杆质量集中在杆的末端。设  $x$  为小车位置,  $\theta$  为摆杆与竖直方向的夹角。系统不考虑空气阻力的影响。

同上述过程, 我们考虑倒立摆摆杆重心的水平-垂直运动与小车水平运动和摆杆转动:

$$\begin{cases} m \frac{d^2}{dt^2}(x + l \sin(\theta)) = H \\ m \frac{d^2}{dt^2}(l \cos(\theta)) = -mg + V \\ M \frac{d^2}{dt^2}(x) = u - H \\ I \frac{d^2}{dt^2}(\theta) = Vl \sin(\theta) - Hl \cos(\theta) \end{cases}$$

整理一下:

$$\begin{cases} (M+m)\ddot{x} + ml\ddot{\theta} \cos \theta - ml\dot{\theta}^2 \sin \theta = u \\ ml\ddot{x} \cos \theta + (I + ml^2)\ddot{\theta} - mgl \sin \theta = 0 \end{cases}$$

那么我们同样假设在系统平衡点附近，摆杆的角度、角速度可以忽略不计，即  $\cos \theta = 1, \sin \theta = \theta; \dot{\theta} = 0, \sin \theta \dot{\theta} = 0$ ，则：

$$\begin{cases} (M+m)\ddot{x} + ml\ddot{\theta} = u \\ ml\ddot{x} + (I + ml^2)\ddot{\theta} = mgl\theta \end{cases}$$

定义状态变量  $X$ ：

$$X = \begin{bmatrix} x_1 \\ x_2 \\ x_3 \\ x_4 \end{bmatrix} = \begin{bmatrix} \theta \\ \dot{\theta} \\ x \\ \dot{x} \end{bmatrix}$$

那么同理我们可以得到系统状态空间方程：

$$\begin{bmatrix} \dot{x}_1 \\ \dot{x}_2 \\ \dot{x}_3 \\ \dot{x}_4 \end{bmatrix} = \begin{bmatrix} 0 & 1 & 0 & 0 \\ \frac{mgl(M+m)}{I(M+m)+Mml^2} & 0 & 0 & 0 \\ 0 & 0 & 0 & 1 \\ -\frac{m^2gl^2}{I(M+m)+Mml^2} & 0 & 0 & 0 \end{bmatrix} \cdot \begin{bmatrix} x_1 \\ x_2 \\ x_3 \\ x_4 \end{bmatrix} + \begin{bmatrix} 0 \\ -\frac{ml}{I(M+m)+Mml^2} \\ 0 \\ \frac{I+ml^2}{I(M+m)+Mml^2} \end{bmatrix} \cdot u$$

$$y = CX + D\hat{u} = \begin{bmatrix} 1 & 0 & 0 & 0 \\ 0 & 0 & 1 & 0 \end{bmatrix} \cdot \begin{bmatrix} x_1 \\ x_2 \\ x_3 \\ x_4 \end{bmatrix} + \begin{bmatrix} 0 \\ 0 \end{bmatrix} \cdot \hat{u} = \begin{bmatrix} \theta \\ x \end{bmatrix}$$

## 更一般的形式

我们这里还要考虑近来阻尼系数  $b$ ，那么我们现在的方程就变成了：

$$\begin{cases} (M+m)\ddot{x} + b\dot{x} + ml\ddot{\theta} = u \\ ml\ddot{x} + (I + ml^2)\ddot{\theta} = mgl\theta \end{cases}$$

那么在添加了阻尼系数之后，我们更一般的表达式应该是：

$$\begin{bmatrix} \dot{x}_1 \\ \dot{x}_2 \\ \dot{x}_3 \\ \dot{x}_4 \end{bmatrix} = \begin{bmatrix} 0 & 1 & 0 & 0 \\ \frac{mgl(M+m)}{p} & -\frac{(I+ml^2)b}{p} & 0 & 0 \\ 0 & 0 & 0 & 1 \\ -\frac{m^2gl^2}{p} & -\frac{mlb}{p} & 0 & 0 \end{bmatrix} \cdot \begin{bmatrix} x_1 \\ x_2 \\ x_3 \\ x_4 \end{bmatrix} + \begin{bmatrix} 0 \\ -\frac{ml}{p} \\ 0 \\ \frac{I+ml^2}{p} \end{bmatrix} \cdot u$$

$$y = CX + D\hat{u} = \begin{bmatrix} 1 & 0 & 0 & 0 \\ 0 & 0 & 1 & 0 \end{bmatrix} \cdot \begin{bmatrix} x_1 \\ x_2 \\ x_3 \\ x_4 \end{bmatrix} + \begin{bmatrix} 0 \\ 0 \end{bmatrix} \cdot \hat{u} = \begin{bmatrix} \theta \\ x \end{bmatrix}$$

其中,  $p = I(M + m) + Mml^2$ , 当然还有  $q = (M + m)(I + ml^2) - (ml)^2$ , 在后面 pid 调节的时候可以使用。

## 控制环节

### LQR 控制

已知系统状态空间模型:

$$\dot{X} = AX + Bu$$

其中  $X$  为状态向量,  $u$  为控制输入,  $A$  为状态矩阵,  $B$  为输入矩阵。

LQR 控制考虑最佳控制向量的矩阵  $K$ :

$$\hat{u} = u - KX$$

其中  $K$  为增益矩阵,  $X$  为状态向量。

那么 LQR 控制的目标转换为确定下列最小化二次型函数:

$$J = \frac{1}{2} \int_0^T (X^T Q X + u^T R u) dt$$

此时不妨选择  $Q = I, R = I$ , 使用 matlab 代码求解得到增益矩阵  $K$ :

---

```
% 倒立摆系统参数
M = 1.42; % 小车质量
m = 0.12; % 摆球质量
l = 0.188; % 摆杆长度
I = 0.0014; % 摆球转动惯量
g = 9.8; % 重力加速度9.8m/s^2
q = (M+m)*(I+m*l^2)-(m*l)^2;
p = I*(M+m)+(M*m*l^2);
% 倒立摆系统状态空间矩阵定义
A = [0 1 0 0
      (M+m)*m*g*l/(I*(M+m)+(M*m*l^2)) 0 0 0
      0 0 0 1
      -m^2*g*l^2/(I*(M+m)+(M*m*l^2)) 0 0 0];
B = [0 -m*l/(I*(M+m)+(M*m*l^2)) 0 (I+m*l^2)/(I*(M+m)+(M*m*l^2))]';
Q=eye(4);
R=eye(1);
K=lqr(A,B,Q,R);
```

---

此时可以输出得到  $k = [-36.9690, -5.8463, -1.0000, -2.3376]$ 。

那么我们拥有了这个  $k$ ，就可以搭建 LQR 控制器了，首先考虑如下理论模型，我们注意到，在 LQR 控制器中，反馈  $K$  到输入  $u$  中，然后在乘以  $B$ ，与  $A$  反馈相加之后。

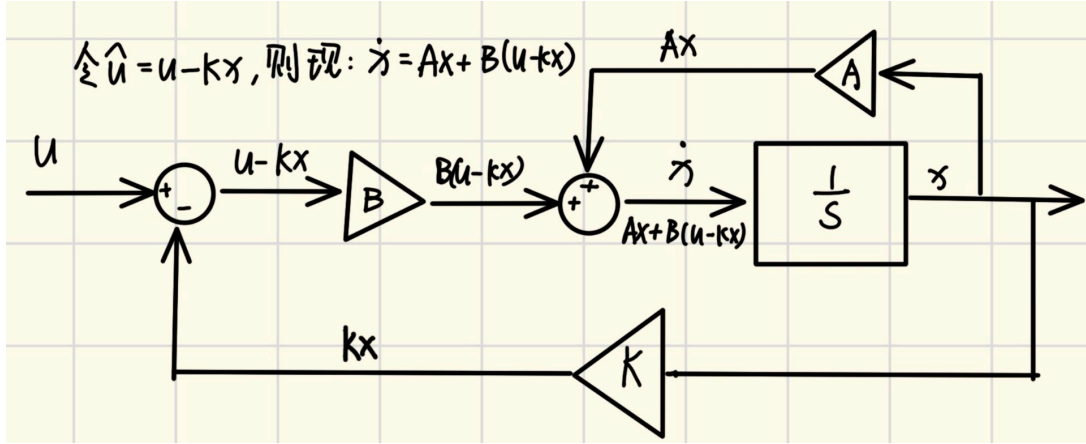


图 2: LQR 控制器

## PID 控制

进行 laplace 变换, 同时假设  $\theta, \dot{\theta}$  很小, 根据上述推导不难有如下式子:

$$\begin{cases} (M + m)\ddot{x} + m\ddot{\theta} \cos \theta - m\dot{\theta}^2 \sin \theta + b\dot{x} = u \\ m\ddot{x} \cos \theta + (I + ml^2)\ddot{\theta} - mgl \sin \theta = 0 \end{cases}$$

有初始状态为 0, 而且  $\sin \theta = \theta, \cos \theta = 1, \dot{\theta} = 0$ :

$$(I + ml^2)\Phi(s)s^2 - mgl\Phi(s) = mlX(s)s^2 - ml\Phi(s)s^2 + bX(s)s = U(s)$$

那么可以给出两种传递函数:

$$P_{\text{pend}}(s) = \frac{\Phi(s)}{U(s)} = \frac{mls}{((M + m)(I + ml^2) - (ml)^2)s^3 + b(I + ml^2)s^2 - (M + m)mgl s - bmg}$$

$$P_{\text{cart}}(s) = \frac{X(s)}{U(s)} = \frac{(I + ml^2)s^2 - mgl}{((M + m)(I + ml^2) - (ml)^2)s^4 + b(I + ml^2)s^3 - (M + m)mgl s^2 - bmg}$$

当然, 我们还有另外一种传递函数:

$$\begin{cases} \ddot{x} = \frac{(I + ml^2)u + ml(I + ml^2)\dot{\theta}^2 \sin \theta - m^2 l^2 g \sin \theta \cos \theta}{(I + ml^2)(M + m) - m^2 l^2 \cos^2 \theta} \\ \ddot{\theta} = \frac{mlu \cos \theta + m^2 l^2 \dot{\theta}^2 \sin \theta \cos \theta - (M + m)mgl \sin \theta}{m^2 l^2 \cos^2 \theta - (I + ml^2)(M + m)} \end{cases}$$

这个时候带入  $\theta \rightarrow 0$  求解，有：

$$\begin{cases} \ddot{x} = \frac{0.0022u - 0.005\theta}{0.0082} \\ \ddot{\theta} = \frac{0.0226u - 0.3405\theta}{-0.0082} \end{cases}$$

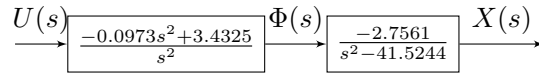
所以在平衡点附近的参数就线性化为：

$$\begin{cases} \ddot{x} = 0.2683u - 0.6098\theta \\ \ddot{\theta} = -2.7561u + 41.5244\theta \end{cases}$$

然后 laplace 变换，得到：

$$\begin{cases} X(s) = \frac{-0.0973s^2 + 3.4325}{s^2} \Phi(s) \\ \Phi(s) = \frac{-2.7561}{s^2 - 41.5244} U(s) \end{cases}$$

我们根据这个可以画出来系统框图如下：



这样关于角度和关于小车位移的传递函数就有了，可以进行 pid 控制仿真了。

---

```

%Modeling
%%Transfer Function
mCart = 1.42;
mPend = 0.12;
b = 0.1;    % 阻尼系数
I = 0.014;  % 转动惯量
g = 9.8;
L = 0.188;
q = (mCart+mPend)*(I+mPend*L^2)-(mPend*L)^2;
s = tf('s');
P_cart = (((I+mPend*L^2)/q)*s^2 - (mPend*g*L/q))/(s^4 + (b*(I + mPend*L^2))*s^3/q -
    ((mCart + mPend)*mPend*g*L)*s^2/q - b*mPend*g*L*s/q);
P_pend = (mPend*L*s/q)/(s^3 + (b*(I + mPend*L^2))*s^2/q - ((mCart + mPend)*mPend*g*L)*s/q
    - b*mPend*g*L/q);
sys_tf = [P_cart ; P_pend]
inputs = {'u'};
outputs = {'x'; 'phi'};
set(sys_tf,'InputName',inputs)
set(sys_tf,'OutputName',outputs)
% PID环节
Kp = 100;
Ki = 1;
  
```

```

Kd = 30;
C = pid(Kp,Ki,Kd);
T1 = feedback(P_pend,C);
T2 = feedback(1,P_pend*C)*P_cart;

```

我们现在有输出如下:

$$P_{\text{cart}} = \frac{1.388 \times 10^{-5} s^2 - 0.0001682}{2.098 \times 10^{-5} s^4 + 1.388 \times 10^{-6} s^3 - 0.000259 s^2 - 1.682 \times 10^{-5} s} \quad \text{从输入 } U(s) \text{ 到输出 } 1X(s)$$

$$P_{\text{pend}} = \frac{1.716 \times 10^{-5} s}{2.098 \times 10^{-5} s^4 + 1.388 \times 10^{-6} s^3 - 0.000259 s^2 - 1.682 \times 10^{-5} s} \quad \text{从输入 } U(s) \text{ 到输出 } 2\Phi(s)$$

随后我们转化:

$$T1 = \frac{1.716 \times 10^{-5} s^2}{2.098 \times 10^{-5} s^4 + 0.0005163 s^3 + 0.001457 s^2 + 3.433 \times 10^{-7} s}$$

$$T2 = \frac{2.912 \times 10^{-10} s^6 + 1.926 \times 10^{-11} s^5 - 7.125 \times 10^{-9} s^4 - 4.669 \times 10^{-10} s^3 + 4.357 \times 10^{-8} s^2 + 2.829 \times 10^{-9} s}{4.404 \times 10^{-10} s^8 + 1.086 \times 10^{-8} s^7 + 2.586 \times 10^{-8} s^6 - 1.321 \times 10^{-7} s^5 - 3.862 \times 10^{-7} s^4 - 2.46 \times 10^{-8} s^3 - 5.774 \times 10^{-12} s^2}$$

这个时候我们可以直接运算 T1,T2 的脉冲响应即可。

而同时我们也有这样的 PID 控制器框图如下:

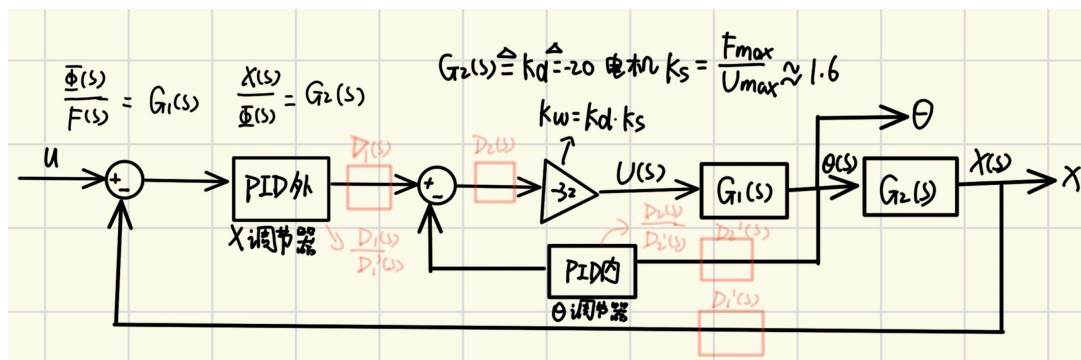


图 3: 双 PID 控制器

## Matlab 代码与 Simulink 仿真测试

### LQR 控制

根据上述操作, 我们已经大概知道了怎么计算, 现在我们进行 matlab 仿真测试。

% 倒立摆系统参数

M = 1.42; % 小车质量

m = 0.12; % 摆球质量



```

l = 0.188; % 摆杆长度
I = 0.0014; % 摆球转动惯量
g = 9.8; % 重力加速度9.8m/s^2
q = (M+m)*(I+m*l^2)-(m*l)^2;
p = I*(M+m)+(M*m*l^2);
% 倒立摆系统状态空间矩阵定义
A = [0 1 0 0
      (M+m)*m*g*l/(I*(M+m)+(M*m*l^2)) 0 0 0
      0 0 0 1
      -m^2*g*l^2/(I*(M+m)+(M*m*l^2)) 0 0 0];
B = [0 -m*l/(I*(M+m)+(M*m*l^2)) 0 (I+m*l^2)/(I*(M+m)+(M*m*l^2))]';
C = [1 0 0 0
      0 0 1 0];
D = 0;
% 倒立摆系统状态空间模型
G = ss(A, B, C, D)

```

---

我们有输出如下，可以看出，尽管我们定义了阻尼系数 b，但是这道题这样给出来的状态矩阵就是没有计算阻尼系数的形式，但是与题目所给形式完全一致：

---

```

G =
A =
      x1      x2      x3      x4
x1      0      1      0      0
x2  41.63      0      0      0
x3      0      0      0      1
x4 -0.6099      0      0      0
B =
      u1
x1      0
x2 -2.758
x3      0
x4  0.6898
C =
      x1  x2  x3  x4
y1  1   0   0   0
y2  0   0   1   0
D =
      u1

```

y1 0

y2 0

连续时间状态空间模型。

那么根据之前讨论过的 (主要参考控制环节-LQR 控制), 这里主要使用了图 2 中的理论系统形式, 我们可以搭出 LQR 控制器的 simulink 文件:

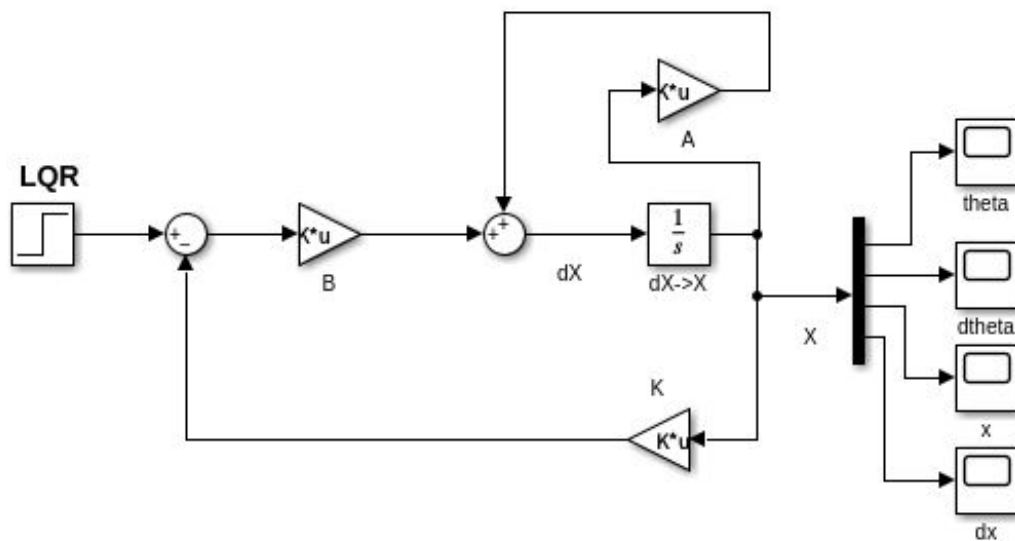


图 4: simulink 仿真文件

## 完整代码

% 定义状态矩阵 A 和控制矩阵 B 观测矩阵 C 和输入矩阵 D

```
A = [0, 1, 0, 0;  
     41.63, 0, 0, 0;  
     0, 0, 0, 1;  
     -0.6099, 0, 0, 0];
```

```
B = [0;  
     -2.7584;  
     0;  
     0.6898];
```

```
C = [1, 0, 0, 0;  
     0, 0, 1, 0];
```

```

D = [0;
      0];
G = ss(A, B, C, D);
% 定义权重矩阵 Q 和 R
Q = eye(4); % 状态权重矩阵, 这里使用单位矩阵
R = 1;      % 控制权重矩阵, 这里使用 1
[K, S, E] = lqr(A, B, Q, R);
B
A
K
A_cl = A - B * K;
B_cl = B;
C_cl = C;
D_cl = D;
Gclose = ss(A_cl, B_cl, C_cl, D_cl);

% 计算并绘制阶跃响应
t = 0:0.01:10;
[y, t, x] = step(Gclose, t);

figure;
% 摆角与角速度响应
subplot(2, 1, 1);
plot(t, x(:, 1), 'b-', 'LineWidth', 2);
hold on;
plot(t, x(:, 2), 'r--', 'LineWidth', 2);
grid on;
xlabel('time(s)', 'FontSize', 20);
ylabel('{\theta and \dot \theta}', 'FontSize', 20);
title('摆角与角速度响应', 'FontSize', 25);
legend('摆角', '角速度');
% 位移与速度响应
subplot(2, 1, 2);
plot(t, x(:, 3), 'g-', 'LineWidth', 2);
hold on;
plot(t, x(:, 4), 'm--', 'LineWidth', 2);
grid on;
xlabel('time(s)', 'FontSize', 20);
ylabel('{x and \dot x}', 'FontSize', 20);

```

```

title('位移与速度响应', 'FontSize', 25);
legend('位移', '速度');

set(gcf, 'Position', [100, 100, 800, 600]);

```

## PID 控制

那么根据之前讨论过的（主要参考），我们可以搭出 PID 控制器的 simulink 文件：

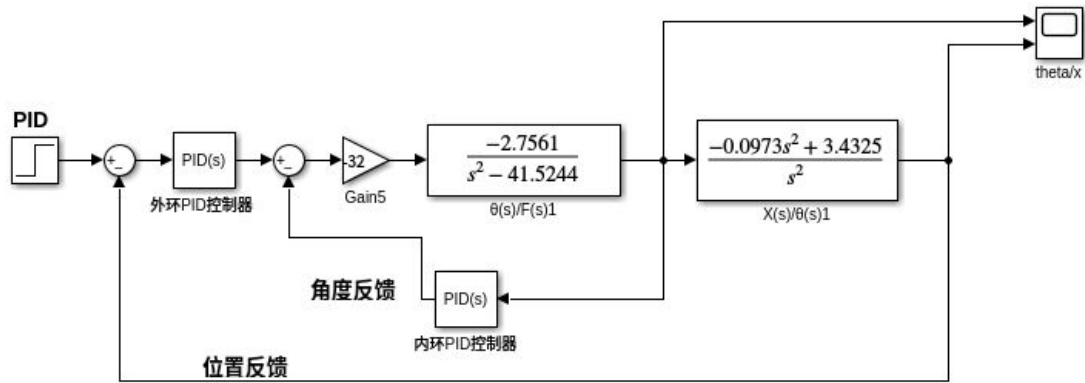


图 5: simulink 仿真文件

## 完整代码

```

%Modeling
%%Transfer Function
mCart = 1.42;
mPend = 0.12;
b = 0.1; % 阻尼系数
I = 0.014; % 转动惯量
g = 9.8;
L = 0.188;
q = (mCart+mPend)*(I+mPend*L^2)-(mPend*L)^2;
s = tf('s');
P_cart = (((I+mPend*L^2)/q)*s^2 - (mPend*g*L/q))/(s^4 + (b*(I + mPend*L^2))*s^3/q -
    ((mCart + mPend)*mPend*g*L)*s^2/q - b*mPend*g*L*s/q);

```

```

P_pend = (mPend*L*s/q)/(s^3 + (b*(I + mPend*L^2))*s^2/q - ((mCart + mPend)*mPend*g*L)*s/q
        - b*mPend*g*L/q);
sys_tf = [P_cart ; P_pend]
inputs = {'u'};
outputs = {'x'; 'phi'};
set(sys_tf,'InputName',inputs)
set(sys_tf,'OutputName',outputs)
t = 0:0.05:5;
u = ones(size(t));
[y,t] = lsim(sys_tf,u,t);
figure ;
plot(t,y) ;
title('Open-Loop Step Response') ;
% axis([0 3 0 50]) ;
legend('x','phi');
% PID环节
Kp = 100;
Ki = 1;
Kd = 30;
C = pid(Kp,Ki,Kd);
T1 = feedback(P_pend,C);
t=0:0.01:4;
figure;
subplot(2,1,1);
impz(T1,t)
title('Close-loop impulse Response')
legend('phi');
% figure;
T2 = feedback(1,P_pend*C)*P_cart;
t = 0:0.01:5;
subplot(2,1,2);
impz(T2, t);
title('Close-loop impulse Response')
legend('x');

```

---